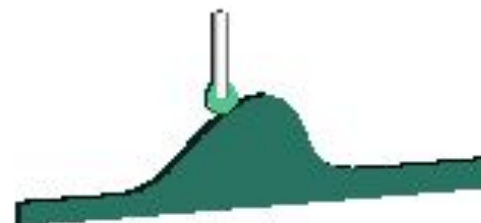
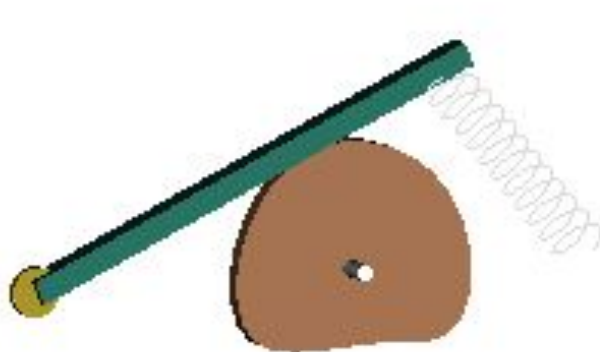
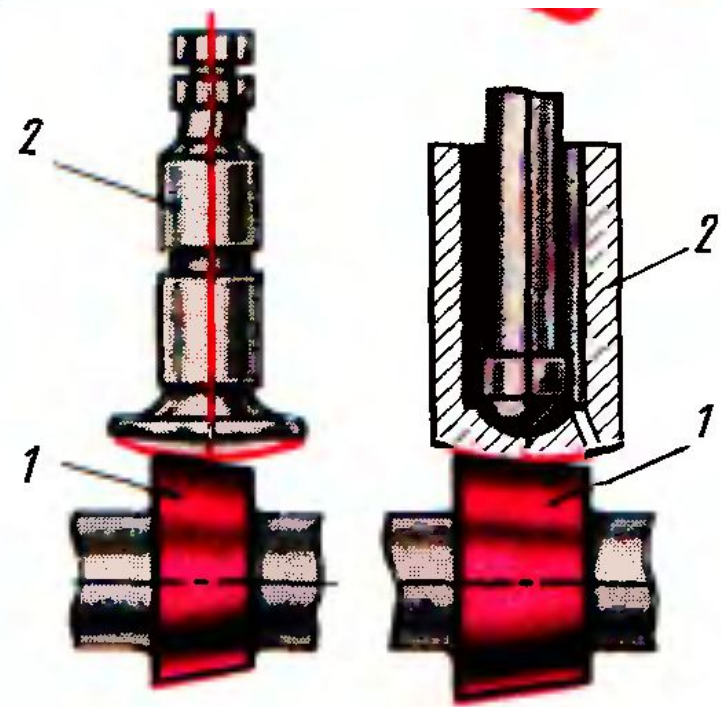
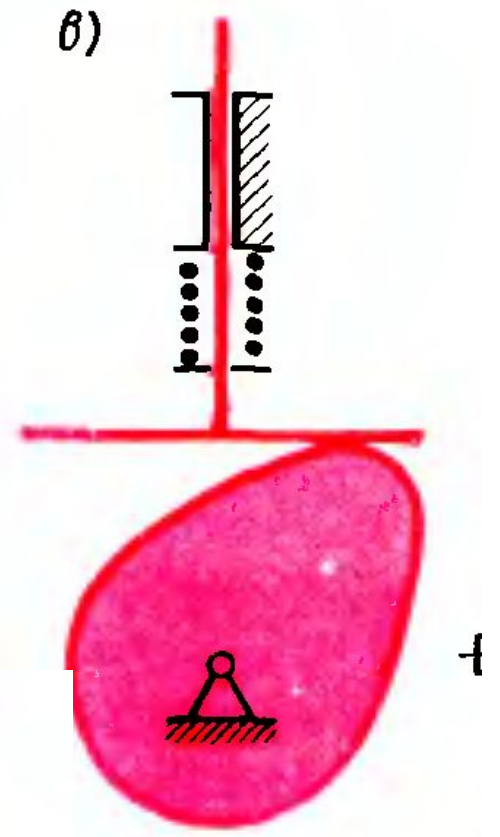
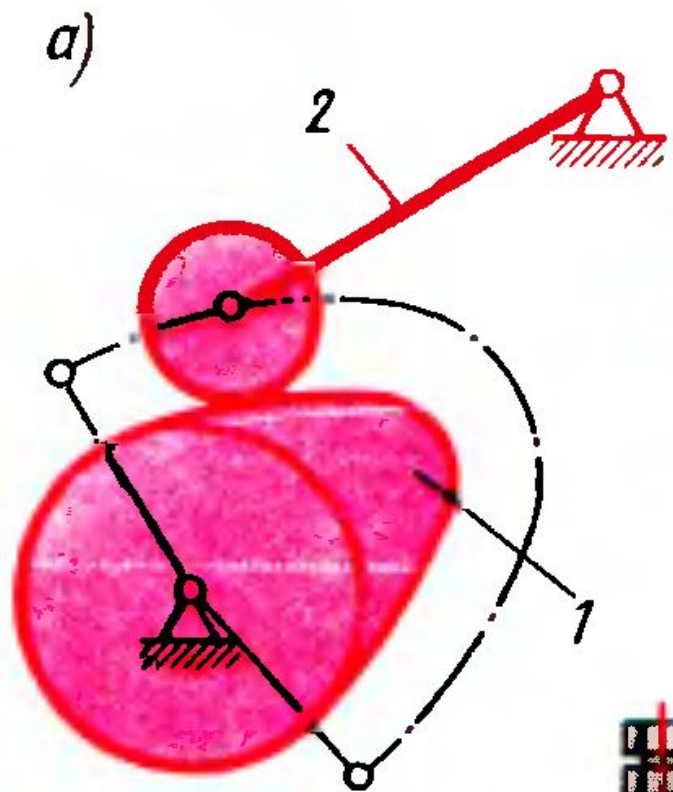
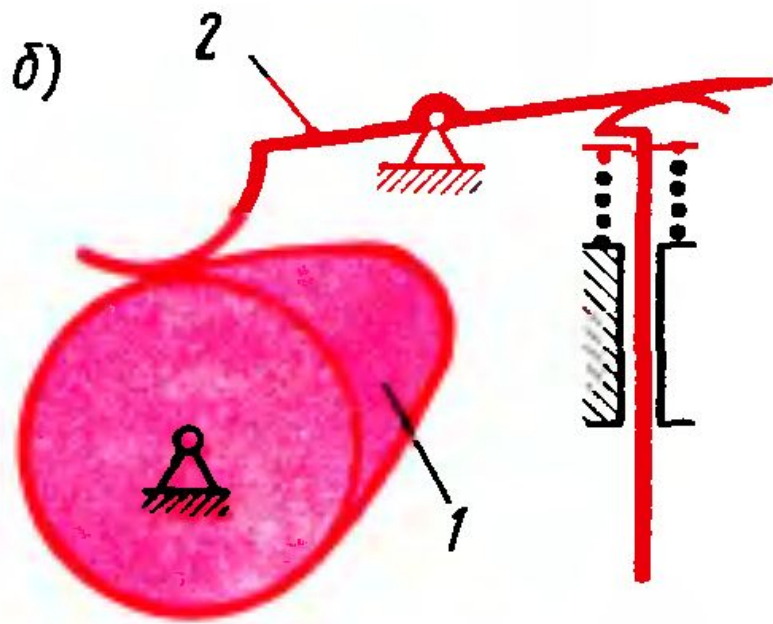


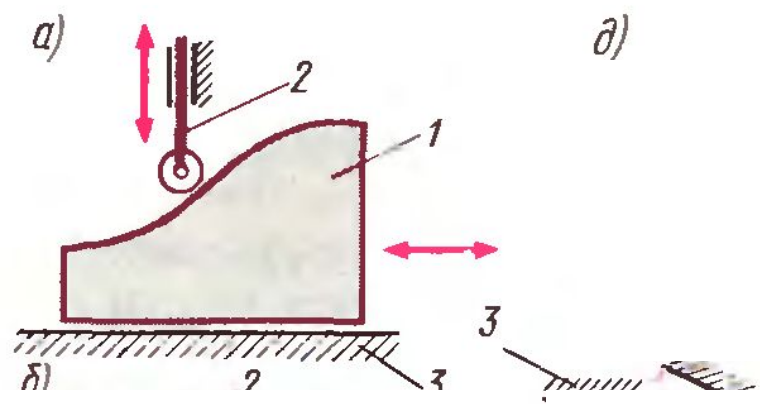
Кулачковые механизмы



Распространенные типы



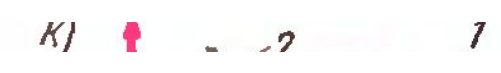




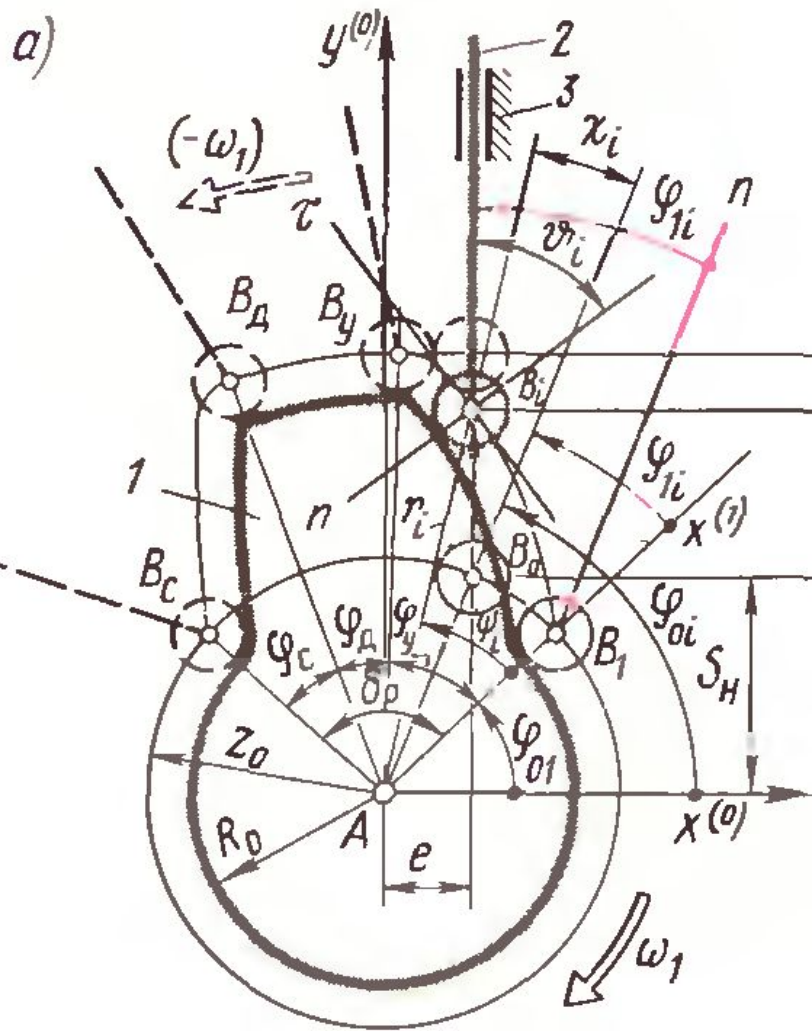
b)



1



3



$$X_B^{(0)} = e$$

$$Y_B^{(0)} = S_H + S_{Bi} =$$

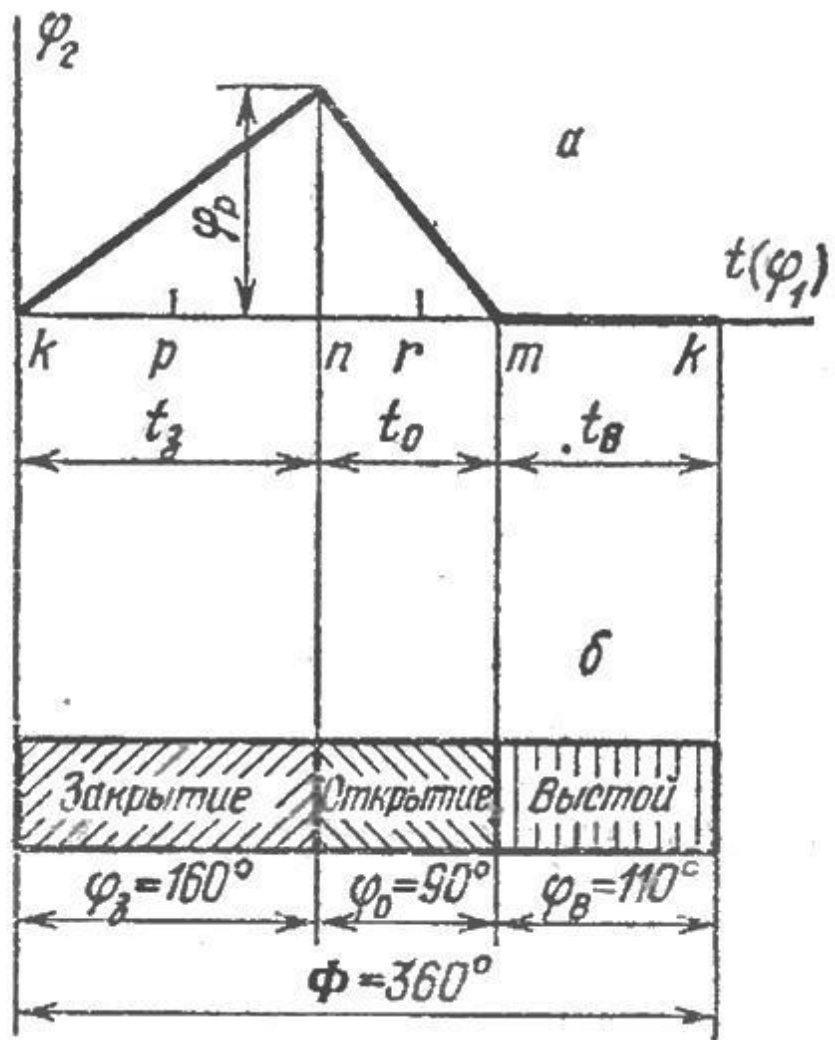
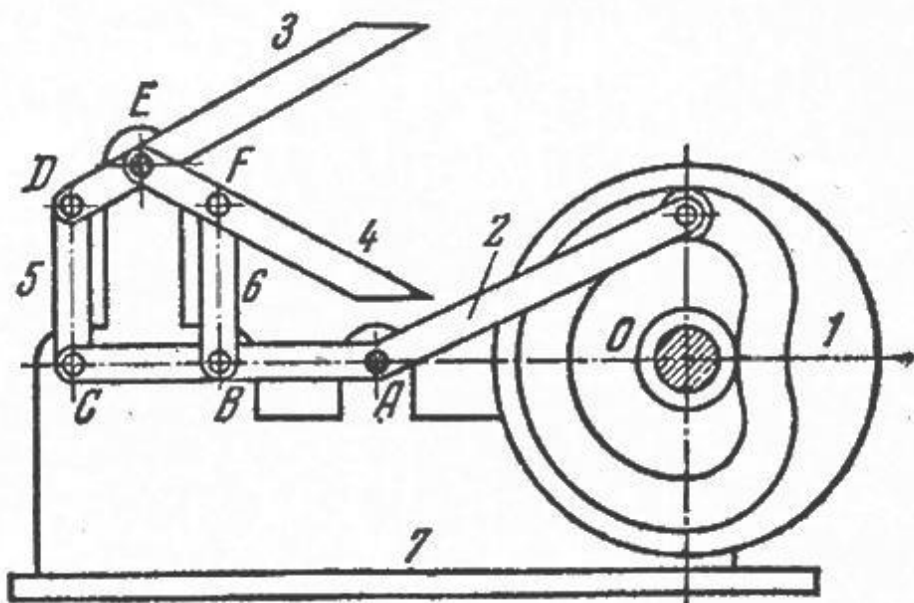
$$= \sqrt{r_0^2 + e^2} + S_{Bi}(\varphi_1)$$

Радиус-вектор АВ точки В

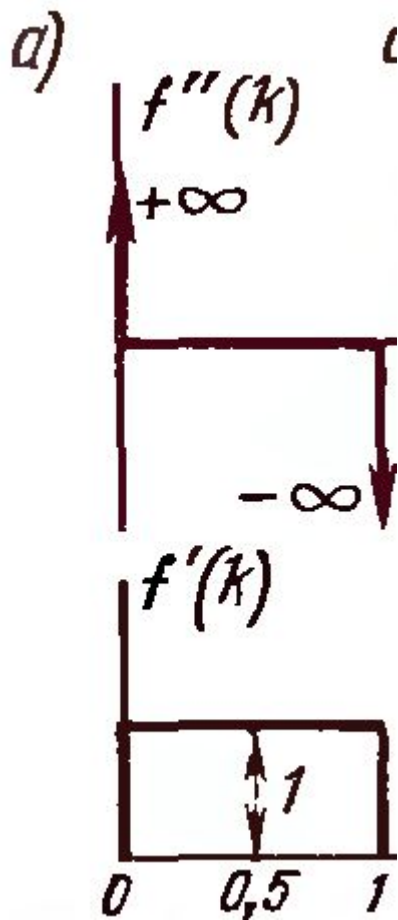
$$r_i = \sqrt{(S_H + S_{Bi})^2 + e^2}$$

$$r_{\max} = \sqrt{(S_H + H)^2 + e^2}$$

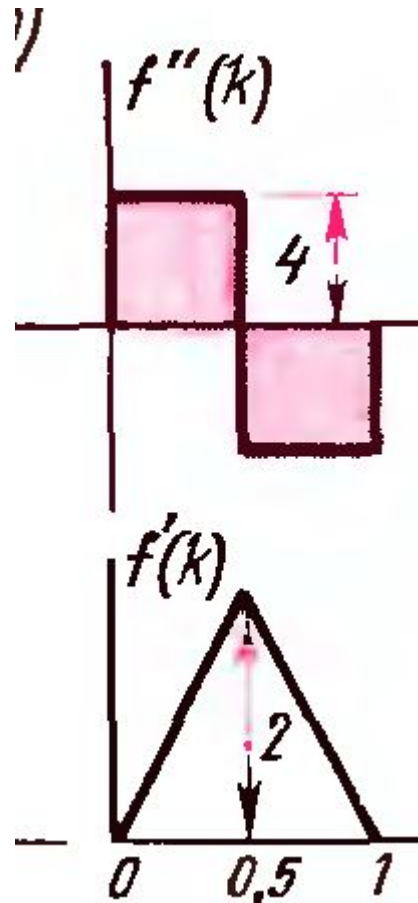
Ножницы



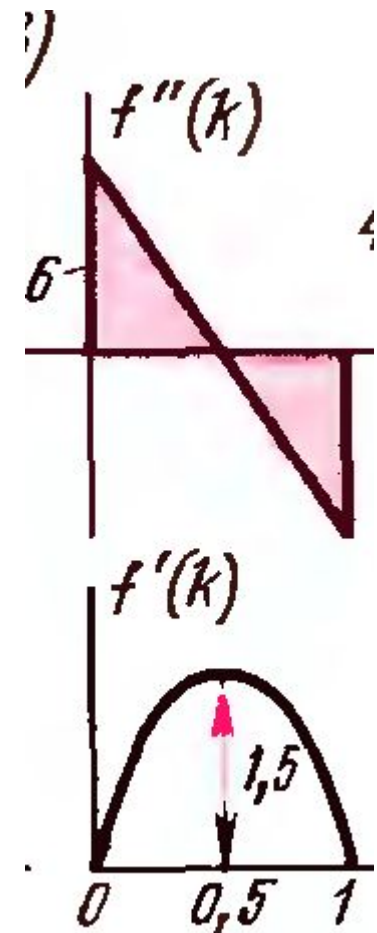
Законы движения толкателя (для фазы удаления)



Линейный

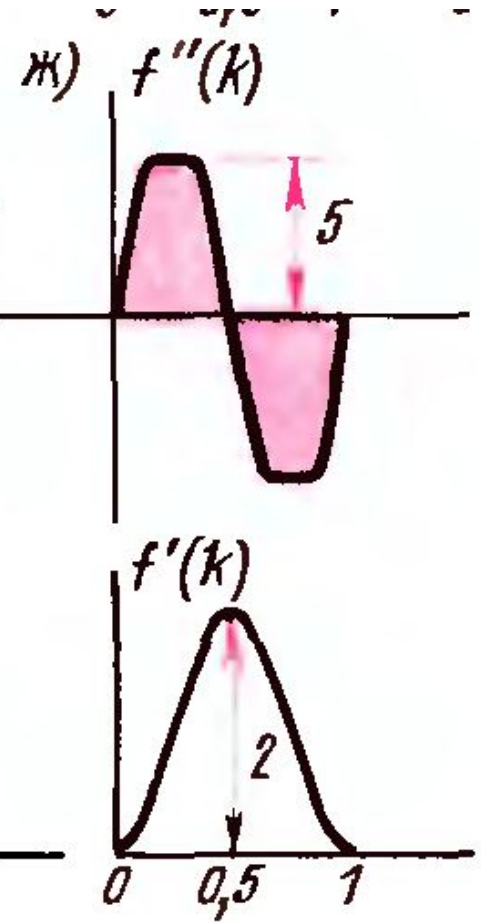
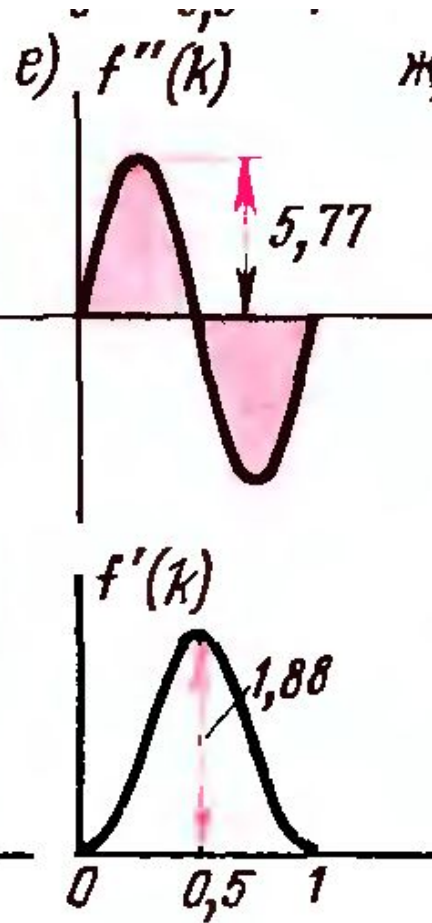
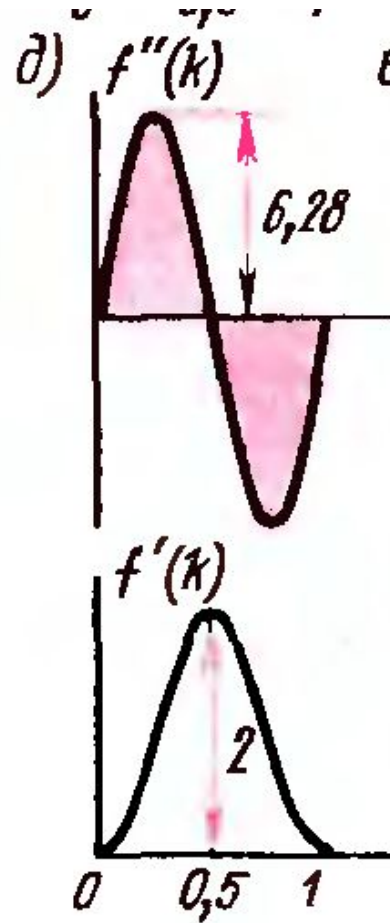
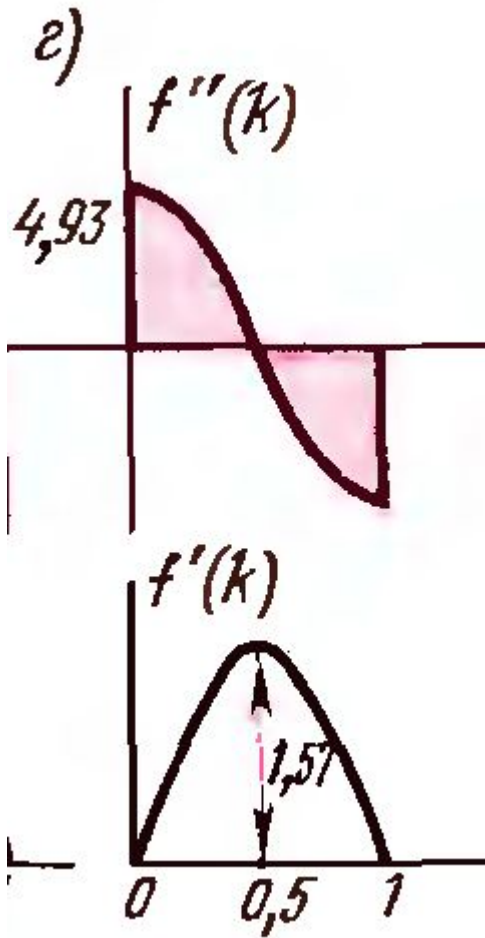


Параболический



Косинусоидальный

Законы движения толкателя



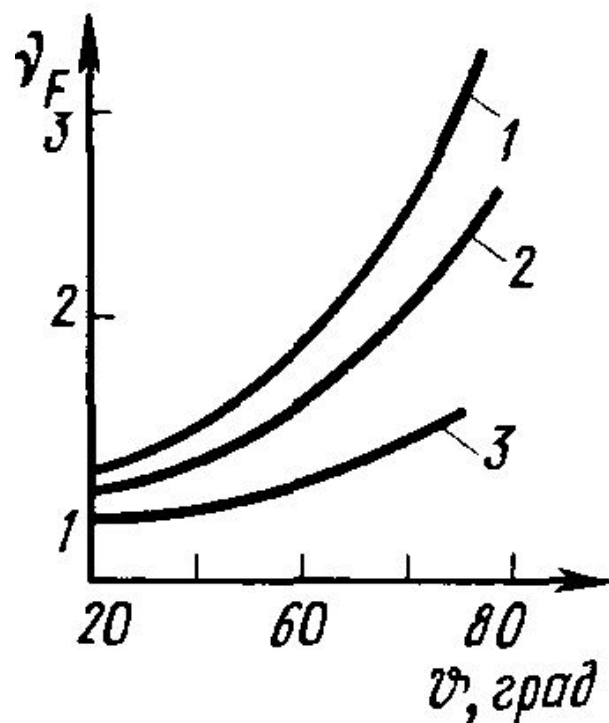
Синусоидальный

Полиномиальный

Из плана сил по теореме синусов

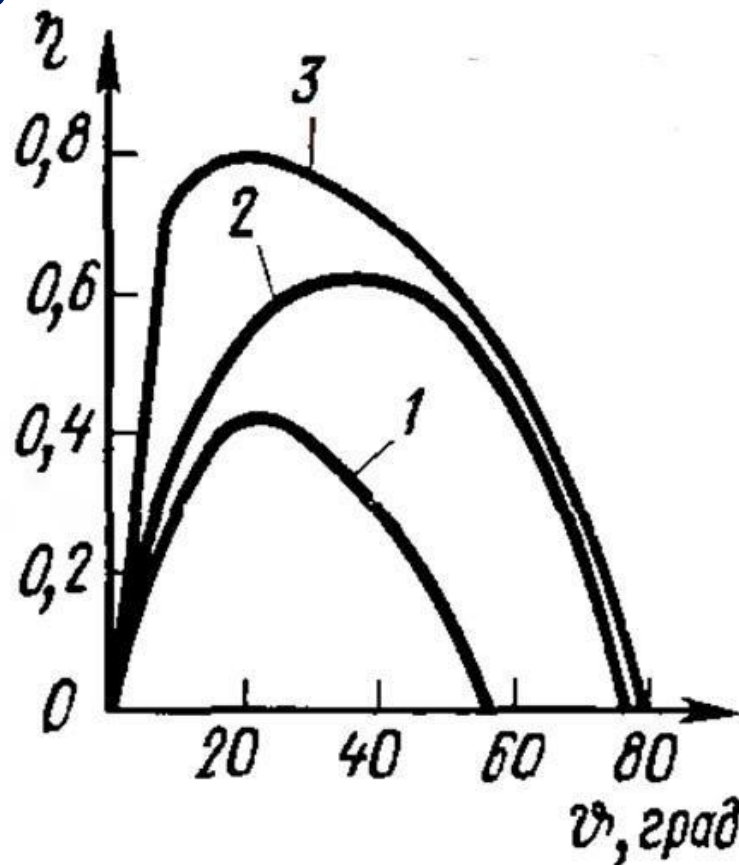
$$\frac{F_{c2}}{\sin(90^\circ - \varphi_{\tau 23}^{np} - \vartheta - \varphi_{\tau 21})} = \frac{F_{21}}{\sin(180^\circ - \varphi_{\tau 23}^{np})}$$

$$\nu_F = \frac{F_{21}}{F_{c2}} = \frac{\cos \varphi_{\tau 23}^{np}}{\cos(\vartheta + \varphi_{\tau 23}^{np} + \varphi_{\tau 21})}$$



$(f_{\tau 21} + f_{\tau 23}^{np})$: кривая 1—0,1; 2—0,2; 3—0,5

Мгновенное КПД кулачкового механизма с поступательным толкателем



Кривая	1	2	3
$f_{\tau 21}$	0,2	0,2	0,01
$f_{\tau 23}^{пр}$	0,4	0	0,2